



249062

รายงานผลการดำเนินการ PMN เมืองท่าราชบูรณะ จังหวัดอุบลราชธานี

ผู้รายงาน
นางสาว

วิพากษ์ พันธ์สุข บริษัทวิทยาศาสตร์ มหาวิทยาลัยแม่ฟ้าหลวง เนื่องในสิ่งที่ดีของประเทศไทย

ขอถวายเป็นอนุญาติให้การนำเสนอผลงานนี้เป็นปัจจัย

งานวิจัยและสืบสานประเพณี

พฤษภาคม 2555

วิชชิธรรม เมืองท่าราชบูรณะ อุบลราชธานี

b00254389

ห้องสมุดงานวิจัย สำนักงานคณะกรรมการวิจัยแห่งชาติ



249062

การประดิษฐ์เชรามิกที่มี PMN เป็นองค์ประกอบหลัก ด้วยวิธีการเผาใหม้



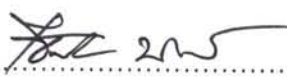
จิตรากร กรพรอม

วิทยานิพนธ์เสนอบัณฑิตวิทยาลัย มหาวิทยาลัยนเรศวร เพื่อเป็นส่วนหนึ่งของการศึกษา
หลักสูตรปริญญาวิทยาศาสตรมหาบัณฑิต
สาขาวิชาพิสิกส์ประยุกต์
พฤษภาคม 2555
ลิขสิทธิ์เป็นของมหาวิทยาลัยนเรศวร

คณะกรรมการสอบวิทยานิพนธ์ได้พิจารณาวิทยานิพนธ์ เรื่อง “การประดิษฐ์เชิงมีที่มี PMN เป็นองค์ประกอบหลัก ด้วยวิธีการเผาไหม้” ของ นายจิตกร กรพรหม เห็นสมควรรับเป็นส่วนหนึ่งของการศึกษาตามหลักสูตรปริญญาศาสตรมหาบัณฑิต สาขาวิชาฟิสิกส์ประยุกต์ ของมหาวิทยาลัยนเรศวร

๑๗๖๔๒ ๒๐๑๐.๑๙ ประธาน

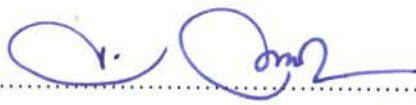
(ดร. คชेनทร์ แดงอุดม)

 กรรมการ

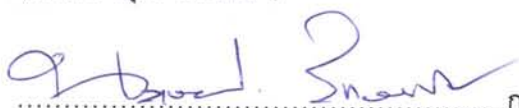
(ผู้ช่วยศาสตราจารย์ ดร. ธีระชัย บงกชารณ์)

 กรรมการ

(ผู้ช่วยศาสตราจารย์ ดร. ทิราณี ขำจำเลิศ)

 กรรมการ

(ดร. ศราวุฒิ เถื่อนคำ)

 กรรมการ

(ผู้ช่วยศาสตราจารย์ ดร. นราธิป วิทยากร)

อนุมัติ



(ผู้ช่วยศาสตราจารย์ ดร. คงนนิจ ภู่พัฒโนวบูลย์)

คณะบดีบัณฑิตวิทยาลัย

๘ พฤษภาคม ๒๕๕๕

ประกาศคุณปการ

ผู้วิจัยขอกราบขอบพระคุณเป็นอย่างสูงในความกรุณาของ ผู้ช่วยศาสตราจารย์ ดร.ธีระชัย บงกชานที่ปรึกษาวิทยานิพนธ์ ที่ได้สละเวลาอันมีค่ามาเป็นที่ปรึกษา พร้อมทั้ง ให้คำแนะนำตลอดระยะเวลาในการทำวิทยานิพนธ์ฉบับนี้ และขอกราบขอบพระคุณคณะกรรมการวิทยานิพนธ์อันประกอบไปด้วย ดร.ศรรภุณิ เก่อนถ้า และ ผู้ช่วยศาสตราจารย์ ดร.พิราณี ขำจำเลิศ กรรมการที่ปรึกษาวิทยานิพนธ์ ผู้ช่วยศาสตราจารย์ ดร.นราธิป วิทยากร กรรมการ ผู้ทรงคุณวุฒิ และ ดร.คเซนทร์ แดงอุดม ประธานกรรมการ ที่ได้กรุณาให้คำแนะนำตลอดจนแก้ไข ข้อบกพร่องของวิทยานิพนธ์ด้วยความเอาใจใส่ จนทำให้วิทยานิพนธ์ฉบับนี้สำเร็จลุล่วงได้อย่าง สมบูรณ์และทรงคุณค่า

ขอขอบคุณเจ้าหน้าที่และบุคลากรของคณะวิทยาศาสตร์ทุกท่านที่ได้ให้ความช่วยเหลือ และอำนวยความสะดวกในการดำเนินงานวิจัย

ขอขอบพระคุณโครงการพัฒนาがらงคนด้านวิทยาศาสตร์ (ทุนเรียนดีวิทยาศาสตร์แห่งประเทศไทย) ที่ให้ทุนการศึกษาแก่ผู้วิจัยไปจนตลอดหลักสูตรการศึกษา และศูนย์วิจัยร่วมเฉพาะทางด้านส่วนประกอบ ยาร์ดดิสก์ไดรฟ์ คณะวิศวกรรมศาสตร์ มหาวิทยาลัยขอนแก่น ที่ให้ทุนสนับสนุนการทำวิจัยในครั้งนี้

เนื่องสิ่งอื่นใดขอกราบขอบพระคุณ บิดา มารดา ของผู้วิจัยที่ให้กำลังใจและให้การสนับสนุนในทุกๆ ด้านอย่างดีที่สุดเสมอมา

คุณค่าและคุณประโยชน์อันเพิ่งจะมีจากวิทยานิพนธ์ฉบับนี้ ผู้วิจัยขอขอบคุณและอุทิศแด่ผู้มีพระคุณทุกๆ ท่าน ตลอดจนครูอาจารย์ที่เคารพและได้ประเสิฐประสาทวิชาความรู้

ท้ายสุด หากมีสิ่งที่ขาดตกบกพร่องหรือผิดพลาดประการใด ข้าพเจ้าขออภัยเป็นอย่างสูง ในข้อบกพร่องและผิดพลาดนั้น และข้าพเจ้าหวังว่างานวิจัยนี้คงมีประโยชน์ไม่นักก็น้อยต่อผู้ต้องการศึกษาต่อไป

ชื่อเรื่อง	การประดิษฐ์เซรามิกที่มี PMN เป็นองค์ประกอบหลัก ด้วยวิธีการเผาใหม่
ผู้วิจัย	จิตรากร กรพรม
ประธานที่ปรึกษา	ผู้ช่วยศาสตราจารย์ ดร. ธีระชัย บังการณ์
กรรมการที่ปรึกษา	ผู้ช่วยศาสตราจารย์ ดร. ศิริวันี จำล้ำเลิศ ดร. ศราวุฒิ เถื่อนดำเนิน
ประเภทสารนิพนธ์	วิทยานิพนธ์ วท.ม. สาขาวิชาพิสิ吉ส์ประยุกต์, มหาวิทยาลัยนเรศวร, 2554
คำสำคัญ	0.67PMN-0.33PT(PMN-PT) 0.65PMN-0.35PZ (PMT-PZ) 0.3PMN-0.7PZT (PMN-PZT) 0.53PMN-0.37PT-0.1PZ เซรามิกพิโซอิเล็กทริก วิธีการเผาใหม่

บทคัดย่อ

249062

งานวิจัยนี้ศึกษาผลของอุณหภูมิแคลไนน์ (700-1000 องศาเซลเซียส เป็นเวลา 2 ชั่วโมง) และอุณหภูมิชินเตอร์ (1000-1300 องศาเซลเซียสเป็นเวลา 2 ชั่วโมง) ที่มีต่อโครงสร้างผลึกโครงสร้างจุลภาคและสมบัติทางไฟฟ้าของผงผลึกและเซรามิก 0.67PMN-0.33PT(PMN-PT), 0.65PMN-0.35PZ (PMT-PZ), 0.3PMN-0.7PZT (PMN-PZT) และ 0.53PMN-0.37PT-0.1PZ (PMN-PT-PZ) ที่เตรียมด้วยวิธีการเผาใหม่ ใช้ไกลซีนเป็นเชื้อเพลิง ศึกษาเงื่อนไขที่เหมาะสมในการแคลไนน์ด้วยการวิเคราะห์ผลต่างทางความร้อน (DTA) และการสูญเสียน้ำหนักด้วยความร้อน (TG) แล้วศึกษาโครงสร้างผลึก โครงสร้างจุลภาค สมบัติทางกายภาพและสมบัติทางไฟฟ้าของผงผลึกและเซรามิก

พบว่าผงผลึกบริสุทธิ์ของ PMN-PT "ไดจากการแคลไนน์ที่อุณหภูมิ 900 องศาเซลเซียส เป็นเวลา 2 ชั่วโมง ผงผลึก PMN-PT แสดงโครงสร้างเฟลพรอฟลไกเกอร์แบบรวมใบสีดรอต ผลการวิเคราะห์ที่ไดจากการวิเคราะห์ผลต่างทางความร้อน (XRD) แสดงคล้องกับผลที่ไดจากการวิเคราะห์ผลต่างทางความร้อนและการสูญเสียน้ำหนักด้วยความร้อน (DTA-TG) ผงผลึก PMN-PT มีลักษณะค่อนข้างกลม เมื่ออุณหภูมิในการเผาแคลไนน์เพิ่มขึ้น ขนาดอนุภาคเฉลี่ยมีค่าเพิ่มขึ้นจาก 0.19 เป็น 1.25 ไมโครเมตร เซรามิก PMN-PT แสดงโครงสร้างแบบผสมของรวมใบสีดอลกับเทวระโภนอล เกรนของเซรามิกมีลักษณะเป็นทรงหลาเหลี่ยมและขนาดเกรนเฉลี่ยมีค่าเพิ่มขึ้นเมื่ออุณหภูมิชินเตอร์เพิ่มขึ้น ค่าความหนาแน่น ค่าการหดตัวเชิงเส้น และค่าคงที่ไดอิเล็กทริกที่อุณหภูมิ

คุณภาพของเซรามิกมีค่าเพิ่มขึ้นเมื่ออุณหภูมิชินเตอร์เพิ่มขึ้นจนถึงอุณหภูมิ 1100°C หลังจากนั้นค่าเหล่านี้ มีค่าลดลง เซรามิก PMN-PT ชินเตอร์ที่อุณหภูมิ 1100°C องศาเซลเซียส เป็นเวลา 2 ชั่วโมง มีค่า ความหนาแน่นสูงสุด ค่าการหดตัวเชิงเส้นสูงสุด และค่าคงที่ไดอิเล็กทริกที่อุณหภูมิคุ้มครองสูงสุด โดยมี ค่าประมาณ 7.95 g/cm^3 13.2% และ 21227 ตามลำดับ และมีค่า d_{33} เท่ากับ 244 pC/N ค่า P_r , E_c และ R_{sq} (ใช้สนามไฟฟ้าเพิ่ม 40 kV) เท่ากับ $20.5 \mu\text{C}/\text{cm}^2$ $3.88 \text{ kV}/\text{cm}$ และ 1.09 ตามลำดับ

โครงสร้างเฟสเพอรอฟลไกท์แบบบูดิคิวบิกที่บริสุทธิ์ของผงผลึก PMN-PZ บริสุทธิ์ ได้จาก ตัวอย่างที่เคลือบไนซ์ที่อุณหภูมิ 850°C เป็นเวลา 2 ชั่วโมง ผลการวิเคราะห์ด้วย XRD สอดคล้องกับ ผลที่ได้จากการวิเคราะห์ด้วย DTA-TG ผงผลึก PMN-PZ มีลักษณะค่อนข้างกลม และขนาดเฉลี่ย ของอนุภาคผงผลึก PMN-PZ มีค่าเพิ่มขึ้นจาก 0.16 ถึง 1.62 ไมโครเมตร เมื่ออุณหภูมิในการเผา แคลไนซ์เพิ่มขึ้นจาก 700 ถึง 1000 องศาเซลเซียส เซรามิก PMN-PZ แสดงโครงสร้างแบบบูดิคิวบิกที่บริสุทธิ์เมื่อชินเตอร์ที่อุณหภูมิต่ำกว่า 1200°C และพบว่ามีเฟสเปลกปลอมของ $\text{Pb}_2\text{Nb}_2\text{O}_7$ และ MgO เมื่อชินเตอร์ที่อุณหภูมิสูงกว่า 1200°C เกรนของเซรามิก PMN-PZ มีลักษณะค่อนข้าง กลม เมื่ออุณหภูมิชินเตอร์เพิ่มขึ้น ขนาดเกรนเฉลี่ยมีค่าเพิ่มขึ้นจาก 0.46 เป็น 2.36 ไมโครเมตร ค่า ความหนาแน่น ค่าการหดตัวเชิงเส้น และค่าคงที่ไดอิเล็กทริกที่อุณหภูมิคุ้มครองเซรามิกมีค่าเพิ่มขึ้น เมื่ออุณหภูมิชินเตอร์เพิ่มขึ้นจนถึงอุณหภูมิ 1200°C หลังจากนั้นค่าเหล่านี้มีค่าลดลง เซรามิก PMN-PZ ชินเตอร์ที่อุณหภูมิ 1200°C เป็นเวลา 2 ชั่วโมง มีค่าความหนาแน่นสูงสุด ค่าการหดตัว เชิงเส้นสูงสุด และค่าคงที่ไดอิเล็กทริกที่อุณหภูมิคุ้มครองสูงสุด โดยมีค่า 7.76 g/cm^3 11.86% และ 20052 ตามลำดับ และมีค่า d_{33} เท่ากับ 95 pC/N ค่า P_r , E_c และ R_{sq} (ใช้สนามไฟฟ้าเพิ่ม 40 kV) เท่ากับ $24.27 \mu\text{C}/\text{cm}^2$ $3.49 \text{ kV}/\text{cm}$ และ 0.90 ตามลำดับ

เฟสเดียวของผงผลึก PMN-PZT ได้จากการเคลือบไนซ์ที่อุณหภูมิ 850°C เป็นเวลา 2 ชั่วโมง ผงผลึก PMN-PZT แสดงโครงสร้างผลึกแบบบูดิคิวบิก ผลการวิเคราะห์ด้วย XRD สอดคล้องกับผล ที่ได้จากการวิเคราะห์ด้วย DTA-TG ผงผลึก PMN-PZT มีลักษณะค่อนข้างกลม ขนาดอนุภาคเฉลี่ย มีค่าเพิ่มขึ้นเมื่ออุณหภูมิในการเผาแคลไนซ์เพิ่มขึ้น เซรามิก PMN-PZT แสดงแบบบูดิคิวบิก แบบบูดิคิวบิกที่บริสุทธิ์ในทุกด้วย ขนาดเกรนของเซรามิก PMN-PZT มีลักษณะค่อนข้างกลม เมื่อ อุณหภูมิชินเตอร์เพิ่มขึ้น ขนาดเกรนเฉลี่ยของเซรามิก PMN-PZT มีค่าเพิ่มขึ้นจาก 1.07 เป็น 4.40 ไมโครเมตร ค่าความหนาแน่น ค่าการหดตัวเชิงเส้น และค่าคงที่ไดอิเล็กทริกที่อุณหภูมิคุ้มครองเซ รามิกมีค่าเพิ่มขึ้นเมื่ออุณหภูมิชินเตอร์เพิ่มขึ้นจนถึงอุณหภูมิ 1200°C หลังจากนั้นค่าเหล่านี้มีค่าลดลง เซรามิก PMN-PZT ชินเตอร์ที่อุณหภูมิ 1200°C เป็นเวลา 2 ชั่วโมง มีค่าความหนาแน่นสูงสุด ค่า การหดตัวเชิงเส้น สูงสุดและค่าคงที่ไดอิเล็กทริกที่อุณหภูมิคุ้มครองสูงสุดมีค่า 7.88 g/cm^3 14.66% และ

25301 ตามลำดับ มีค่า d_{33} เท่ากับ 310 pC/N ค่า P_r , E_c และ R_{sq} (ใช้สนามไฟฟ้าเพิ่ม 40 kV) เท่ากับ $26.13 \mu\text{C}/\text{cm}^2$ $4.84 \text{kV}/\text{cm}$ และ 0.90 ตามลำดับ

โครงสร้างเฟสเทหะรอนอกอลเพอรอฟลไกต์แบบเฟสเดี่ยวของผงผลึก PMN-PT-PZ ได้จาก การแคลไนซ์ที่อุณหภูมิ 900°C เป็นเวลา 2 ชั่วโมง ผลการวิเคราะห์ด้วย XRD แสดงคล้องกับผลที่ได้ จากการวิเคราะห์ด้วย DTA-TG ผงผลึกมีลักษณะค่อนข้างกลม ขนาดอนุภาคเฉลี่ยมีค่าเพิ่มจาก 0.16 เป็น 1.62 ‘ไมโครเมตร เมื่ออุณหภูมิในการเผาแคลไนซ์เพิ่มขึ้นจาก 700 ถึง 1000 องศา เชลเซียส เซรามิก PMN-PT-PZ แสดงโครงสร้างแบบเทหะรอนอกอลบริสุทธิ์เมื่อชินเตอร์ที่อุณหภูมิต่ำกว่า 1200°C พบรูปแบบเปลกปลอมของ $\text{Pb}_2\text{Nb}_2\text{O}_7$ เมื่อชินเตอร์ที่อุณหภูมิสูงกว่า 1200°C เกرنของ เซรามิกมีลักษณะค่อนข้างกลมและเมื่ออุณหภูมิชินเตอร์เพิ่มขึ้น ขนาดเกرنเฉลี่ยมีค่าเพิ่มขึ้นจาก 1.77 เป็น 6.02 ‘ไมโครเมตร ค่าความหนาแน่น ค่าการหดตัวเชิงเส้น และค่าคงที่ไดอิเล็กทริกที่ อุณหภูมิครึ่งของเซรามิกมีค่าเพิ่มขึ้นเมื่ออุณหภูมิชินเตอร์เพิ่มขึ้นจนถึงอุณหภูมิ 1100°C หลังจากนั้น ค่าเหล่านี้มีลดลง เซรามิก PMN-PT-PZ ชินเตอร์ที่อุณหภูมิ 1100°C เป็นเวลา 2 ชั่วโมง มีค่า ความหนาแน่นสูงสุด ค่าการหดตัวเชิงเส้นสูงสุด และค่าคงที่ไดอิเล็กทริกที่อุณหภูมิครึ่งมีค่า $7.72 \text{ g}/\text{cm}^3$, 16.13% และ 18337 ตามลำดับ และมีค่า d_{33} เท่ากับ 266 pC/N ค่า P_r , E_c และ R_{sq} (ใช้ สนามไฟฟ้าเพิ่ม 40 kV) เท่ากับ $28.14 \mu\text{C}/\text{cm}^2$ $4.72 \text{kV}/\text{cm}$ และ 1.13 ตามลำดับ

Title	FABRICATION OF PMN-BASED CERAMICS VIA COMBUSTION TECHNIQUE
Author	Chittakron Kronphom
Advisor	Assistant Professor Theerachai Bongkarn, Ph.D.
Co - Advisor	Assistant Professor Thiranee Khumlumlert, Ph.D. Sarawut Thountom, Ph.D.
Academic Paper	Thesis M.S. in Applied Physics, Naresuan University, 2011
Keywords	0.67PMN-0.33PT(PMN-PT), 0.65PMN-0.35PZ (PMT-PZ), 0.3PMN-0.7PZT (PMN-PZT), 0.53PMN-0.37PT-0.1PZ , combustion technique, piezoelectric ceramic

ABSTRACT

249062

In this study, the effects of calcinations temperature ($700\text{-}1000^{\circ}\text{C}$ for 2 h) and sintering temperature ($1000\text{-}1300^{\circ}\text{C}$ for 2h) on the phase formation, microstructure and electrical properties of the 0.67PMN-0.33PT (PMN-PT), 0.65PMN-0.35PZ (PMT-PZ), 0.3PMN-0.7PZT (PMN-PZT) and 0.53PMN-0.37PT-0.1PZ (PMN-PT-PZ) ceramics were investigated. These ceramics were prepared by combustion technique. Glycine was used as fuel to reduce the reaction temperature. The differential thermal analysis (DTA) and the thermo gravimetric analysis (TG) were used to evaluate the optimum condition for calcination. The crystal structure, microstructure, density and electrical properties of the powders and ceramics were studied.

It was found that the pure PMN-PT powder was observed in the sample calcined at 900°C for 2 h. The PMN-PT powders belonged to rhombohedral perovskite phase. The XRD result corresponded with DTA-TG results investigations. The microstructure of the PMN-PT powders exhibited an irregular shape and an agglomerated form. When calcinations temperature increased, the average particle size increased from 0.19 to 1.25 μm . The crystal structure of the PMN-PT ceramics showed coexist phase of rhombohedral and tetragonal. The grain morphology of ceramics exhibited the polygonal morphology and the average grain size increased with increasing sintering temperature.

The density, linear shrinkage and maximum dielectric constant at Curie temperature (T_c) increased with increasing sintering temperatures up to 1100°C and thereafter they decreased. The PMN-PT ceramics sintered at 1100°C for 2 h exhibited the highest density, the highest linear shrinkage and the highest dielectric constant at T_c of 7.95 g/cm^3 , 13.2% and 21227 , respectively. The d_{33} was 244 pC/N and the P_r , E_c , and R_{sq} (using electric field at 40 kV) were $20.5 \mu\text{C}/\text{cm}^2$, $3.88 \text{ kV}/\text{cm}$ and 1.09 , respectively.

The pure pseudo-cubic perovskite phase of PMN-PZ powders was obtained by the sample calcined at 850°C for 2 h. The XRD results corresponded with DTA-TG results investigation. The morphology of the PMN-PZ powders showed an almost-spherical shape and the average particle size increased from 0.16 to $1.62 \mu\text{m}$ when increased calcinations temperature from 700 to 1000°C . The PMN-PZ ceramics exhibited the pure pseudo-cubic perovskite phase in the sample sintered at the temperature lower than 1200°C . The second phases of $\text{Pb}_2\text{Nb}_2\text{O}_7$ and MgO were found in the samples sintered at the temperatures higher than 1200°C . The grain morphology of PMN-PZ ceramics exhibited an almost spherical morphology. When sintering increased, the average grain size increased from 0.46 to $2.36 \mu\text{m}$. The density, linear shrinkage and maximum dielectric constant of PMN-PZ ceramics increased with increasing sintering temperatures up to 1200°C and then decreased. The sample sintered at 1200°C for 2 h obtained the highest density, highest linear shrinkage and highest dielectric constant at T_c of 7.76 g/cm^3 , 11.86% and 20052 , respectively. The d_{33} was 95 pC/N and the P_r , E_c , and R_{sq} (using electric field at 40 kV) were $24.27 \mu\text{C}/\text{cm}^2$, $3.49 \text{ kV}/\text{cm}$ and 0.90 , respectively.

The pure phase of PMN-PZT powder was obtained by the sample calcined at 850°C for 2 h. The crystal structure of PMN-PZT powders exhibited pseudo-cubic phase. The XRD result corresponded with DTA-TG results investigations. The microstructure of the PMN-PZT powders exhibited an irregular shape and an agglomerated form. The average particle size increased with increasing calcinations temperature. The crystal structure of PMN-PZT ceramics exhibited pure pseudo-cubic perovskite phase in all samples. The grain morphology of PMN-PZT ceramics exhibited the polygonal morphology and the average grain size increased from 1.07 to $4.40 \mu\text{m}$ when sintering

temperature increased. The density, linear shrinkage and maximum dielectric constant of PMN-PZT ceramics increased with increasing sintering temperatures up to 1200°C and then drop to values. The PMN-PZT ceramics sintered at 1200°C for 2 h showed the highest density, highest linear shrinkage and highest dielectric constant at T_c of 7.88 g/cm³, 14.66% and 25301, respectively. The d_{33} was 310 pC/N and the P_r , E_c , and R_{sq} (using electric field at 40 kV) were 26.13 μ C/cm², 4.84 kV/cm and 0.90, respectively.

The single tetragonal perovskite phase of PMN-PT-PZ powders was obtained by the sample calcined at 900°C for 2 h. The morphology of the PMN-PT-PZ powders showed an almost-spherical shape and the average particle size increased from 0.12 to 2.51 μ m when increased calcinations temperature from 700 to 1000°C. The PMN-PT-PZ ceramics exhibited the pure tetragonal perovskite phase in the samples sintered at the temperature lower than 1200°C. The second phase of $Pb_2Nb_2O_7$ was found in the samples sintered at the temperatures higher than 1200°C. The grain morphology of PMN-PT-PZ ceramics exhibited an almost spherical morphology and the average grain size increased from 1.77 to 6.02 μ m. The PMN-PT-PZ ceramics sintered at 1100°C for 2 h exhibited the highest density, highest linear shrinkage and highest dielectric constant at T_c of 7.72 g/cm³, 16.13% and 18337, respectively. The d_{33} was 266 pC/N and the P_r , E_c , and R_{sq} (using electric field at 40 kV) were 28.14 μ C/cm², 4.72 kV/cm and 1.13, respectively.

สารบัญ

บทที่	หน้า
1 บทนำ.....	1
ความเป็นมาและความสำคัญของปัญหา.....	1
วัตถุประสงค์ของการวิจัย.....	2
ขอบเขตการวิจัย	2
2 เอกสารและงานวิจัยที่เกี่ยวข้อง.....	3
สมบัติพิเศษอิเล็กทริก (Piezoelectric property).....	3
แอนติเฟรโรอิเล็กทริก(Anti ferroelectric).....	5
เฟรโรอิเล็กทริก (Ferroelectric).....	6
พาราอิเล็กทริก (Paraelectric).....	8
เพอร์โพร์ฟิร์ฟิล์มเฟรโรอิเล็กทริก (Perovskite ferroelectric).....	9
โพลาไรไซชัน (Polarization)	10
สมบัติไดอิเล็กทริก (Dielectric properties)	11
ค่าสภำพยомล้มพัทธ์ (Relative permittivity: ϵ_r).....	12
การซินเตอร์ (Sintering).....	14
การบดย่อยด้วยลูกบด (Ball milling).....	17
การเติร์ยมเซรามิกด้วยวิธีการการเผาใหม่.....	18
การวิเคราะห์เชิงความร้อน.....	19
เครื่องวิเคราะห์การเลี้ยวเบนของรังสีเอกซ์ (X-Ray Diffractometer).....	24
กล้องจุลทรรศน์อิเล็กตรอนแบบส่องกราด (Scanning Electron Microscope).....	27
การหาความหนาแน่น	30
งานวิจัยที่เกี่ยวข้อง.....	32

สารบัญ (ต่อ)

บทที่	หน้า
3 วิธีดำเนินการวิจัย.....	44
สารเคมีที่ใช้ในการทดลอง.....	44
อุปกรณ์ที่ใช้ในการเตรียมสาร.....	44
การเตรียมผงผลึก 0.67PMN-0.33PT, 0.65PMN-0.35PZ, 0.53PMN-0.37PT -0.1PZ และ 0.3PMN-0.7PZT.....	45
การเตรียมเซรามิก PMN-PT, PMN-PZ, PMN-PZT และ PMN-PT-PZ.....	46
4 ผลการวิจัย.....	53
ผลการเตรียมเซรามิก PMN-PT ด้วยวิธีการเผาใหม่.....	53
การตรวจสอบการเปลี่ยนแปลงทางความร้อนของสารผสม PMN-PT กับ ไกลซีนด้วยเทคนิค DTA-TG.....	53
การตรวจวิเคราะห์โครงสร้างผลึกของผง PMN-PT ด้วยเทคนิคเลี้ยวเบนของ รังสีเอกซ์ (X-ray Diffractometer; XRD).....	55
ตรวจวิเคราะห์โครงสร้างจุลภาคของผงผลึก PMN-PT ด้วยกล้องจุลทรรศน์ อิเล็กตรอนแบบส่องกราด (Scanning electron microscope: SEM)....	57
การตรวจวิเคราะห์โครงสร้างผลึกของเซรามิก PMN-PT ด้วยเทคนิคเลี้ยวเบน ของรังสีเอกซ์ (X-ray Diffractometer; XRD).....	58
การตรวจวิเคราะห์โครงจุลภาคของเซรามิก PMN-PT (Scanning electron microscope:SEM).....	61
สมบัติทางกายภาพของเซรามิก PMN-PT.....	63
ค่าคงที่ไดอิเล็กทริกและค่าตัวประกอบการสูญเสียไดอิเล็กทริกของเซรามิก PMN-PT.....	65
ค่าสมบัติเฟร์โรอิเล็กทริกและสมบัติพิโภอิเล็กทริกของเซรามิก PMN-PT	67

สารบัญ (ต่อ)

บทที่	หน้า
ผลการเติร์ยมเซรามิก PMN-PZ ด้วยวิธีการเผาใหม่.....	70
การตรวจสอบการเปลี่ยนแปลงทางความร้อนของสารผสม PMN-PZ กับ ^{ไอลซีนด้วยเทคนิค DTA-TG.....}	70
การตรวจวิเคราะห์โครงสร้างผลึกของผง PMN-PZ ด้วยเทคนิคเลี้ยวเบนของ ^{รังสีเอกซ์ (X-ray Diffractometer; XRD).....}	71
ตรวจวิเคราะห์โครงสร้างจุลภาคของผงผลึก PMN-PZ ด้วยกล้องจุลทรรศน์ ^{อิเล็กตรอนแบบส่องกราด (Scanning electron microscope: SEM)....}	73
การตรวจวิเคราะห์โครงสร้างผลึกของเซรามิก PMN-PZ ด้วยเทคนิค ^{เลี้ยวเบนของรังสีเอกซ์ (X-ray Diffractometer; XRD).....}	75
การตรวจวิเคราะห์โครงจุลภาคของเซรามิก PMN-PZ (Scanning electron microscope:SEM).....	76
สมบัติทางกายภาพของเซรามิก PMN-PZ.....	79
ค่าคงที่ไดอิเล็กทริกและค่าตัวประกอบการสูญเสียไดอิเล็กทริกของเซรามิก ^{PMN-PZ.....}	81
ค่าสมบัติเฟริโระอิเล็กทริกและสมบัติพิเชอิเล็กทริกของเซรามิก PMN-PZ	83
ผลการเติร์ยมเซรามิก PMN-PZT ด้วยวิธีการเผาใหม่.....	85
การตรวจสอบการเปลี่ยนแปลงทางความร้อนของสารผสม PMN-PZT กับ ^{ไอลซีนด้วยเทคนิค DTA-TG.....}	85
การตรวจวิเคราะห์โครงสร้างผลึกของผง PMN-PZT ด้วยเทคนิคเลี้ยวเบน ^{ของรังสีเอกซ์ (X-ray Diffractometer; XRD).....}	87
ตรวจวิเคราะห์โครงสร้างจุลภาคของผงผลึก PMN-PZT ด้วยกล้องจุลทรรศน์ ^{อิเล็กตรอนแบบส่องกราด (Scanning electron microscope: SEM)....}	89
การตรวจวิเคราะห์โครงสร้างผลึกของเซรามิก PMN-PZT ด้วยเทคนิค ^{เลี้ยวเบนของรังสีเอกซ์ (X-ray Diffractometer; XRD).....}	91

สารบัญ (ต่อ)

บทที่	หน้า
การตรวจวิเคราะห์โครงสร้างจุลภาคของเซรามิก PMN-PZT (Scanning electron microscope:SEM).....	92
สมบัติทางกายภาพของเซรามิก PMN-PZT.....	94
ค่าคงที่ไดอิเล็กทริกและค่าตัวประกอบการสูญเสียไดอิเล็กทริกของเซรามิก PMN-PZT.....	96
ค่าสมบัติเฟร์โรอิเล็กทริกและสมบัติพิโซอิเล็กทริกของเซรามิก PMN-PZT	99
ผลการเตรียมเซรามิก PMN-PT-PZ ด้วยวิธีการเผาใหม่.....	101
การตรวจสอบการเปลี่ยนแปลงทางความร้อนของสารผสม PMN-PT-PZ กับไกลซีนด้วยเทคนิค DTA-TG.....	101
การตรวจวิเคราะห์โครงสร้างสิ่งผลึกของผง PMN-PT-PZ ด้วยเทคนิคเลี้ยวเบนของรังสีเอกซ์ (X-ray Diffractometer; XRD).....	102
ตรวจวิเคราะห์โครงสร้างจุลภาคของผงผลึก PMN-PT-PZ ด้วยกล้องจุลทรรศน์อิเล็กตรอนแบบส่องกราด (Scanning electron microscope: SEM).....	104
การตรวจวิเคราะห์โครงสร้างผลึกของเซรามิก PMN-PT-PZ ด้วยเทคนิคเลี้ยวเบนของรังสีเอกซ์ (X-ray Diffractometer; XRD).....	106
การตรวจวิเคราะห์โครงสร้างจุลภาคของเซรามิก PMN-PT-PZ (Scanning electron microscope:SEM)	108
สมบัติทางกายภาพของเซรามิก PMN-PT-PZ	111
ค่าคงที่ไดอิเล็กทริกและค่าตัวประกอบการสูญเสียไดอิเล็กทริกของเซรามิก PMN-PT-PZ	113
ค่าสมบัติเฟร์โรอิเล็กทริกและสมบัติพิโซอิเล็กทริกของเซรามิก PMN-PT-PZ	116

สารบัญ (ต่อ)

บทที่	หน้า
5 บทสรุป.....	118
สรุปผลการทดลองการเติร์ยมเซรามิก PMN-PT.....	118
สรุปผลการทดลองการเติร์ยมเซรามิก PMN-PZ.....	119
สรุปผลการทดลองการเติร์ยมเซรามิก PMN-PZT.....	119
สรุปผลการทดลองการเติร์ยมเซรามิก PMN-PT-PZ.....	120
บรรณานุกรม.....	121
ประวัติผู้วิจัย.....	128

สารบัญภาพ

ภาพ	หน้า
1 ปรากฏการณ์พิโซอิเล็กทริกในวัสดุ.....	3
2 แผนภาพแสดงการแบ่งกลุ่มพิโซอิเล็กทริกและกลุ่มย่อย.....	4
3 วงรอบอิสเทอร์ชีสระหว่างโพราไโรเชชันกับสนามไฟฟ้าในของสารเอนติเฟริโอลีอิเล็กทริก.....	5
4 ความต่างเฟสระหว่างกระแสลับ (I) และศักย์ไฟฟ้า (V) ของวัสดุไดอิเล็กทริก (a) กรณีไม่มีการสูญเสียพลังงาน (b) กรณีมีการสูญเสียพลังงาน.....	7
5 วงรอบอิสเทอร์ชีสระหว่างโพราไโรเชชันกับสนามไฟฟ้าในสารเฟริโอลีอิเล็กทริก.....	8
6 วงรอบอิสเทอร์ชีสระหว่างโพราไโรเชชันกับสนามไฟฟ้าในสารพาราอิเล็กทริก	9
7 หน่วยเซลล์แบบเพอร์อพอสไกด์ (ABO_3) ของแบบเรียงไทยเนต.....	10
8 ไดโพลภายในเนื้อสาร (a) ก่อนทำการ poling และ (b) หลังทำการ poling.....	11
9 ตัวเก็บประจุแผ่นขนาด.....	12
10 พฤติกรรมการซินเตอร์แบบสถานะของเจ็งทั่วไปในรูปของความสัมพันธ์ระหว่างความหนาแน่นกับอุณหภูมิและเวลาที่ใช้ในการเผา.....	15
11 พัฒนาการของโครงสร้างจุลภาคที่เกิดจากการซินเตอร์แบบสถานะของเจ็ง <ol style="list-style-type: none">อนุภาคผงยึดกันอยู่แบบหลวມๆ หลังการอัดขึ้นรูป (b) การซินเตอร์ช่วงเริ่มต้น (c) การซินเตอร์ช่วงกลาง และ (d) การซินเตอร์ช่วงสุดท้าย.....	15
12 ภาพตัดขวางแสดงองค์ประกอบหลักของการบดย่อยด้วยลูกบด (ball-milling) และแสดงลักษณะพฤติกรรมการบดย่อยแบบเลื่อนหล่นกันไป (cascading)	18
13 การเปลี่ยนแปลงของกระบวนการการเผาใหม่.....	19
14 วงจรของเครื่อง DTA.....	20
15 ผลของการเปลี่ยนแปลงอัตราการเปลี่ยนแปลงของอุณหภูมิต่อกราฟ.....	21
16 ผลของการเปลี่ยนแปลงปริมาณของตัวอย่างต่อกราฟ.....	21
17 ผลวิเคราะห์แสดงค่าเป็นกราฟ DTA, TG, DTG ของดิน Kaolin.....	22
18 ผลวิเคราะห์แสดงค่าเป็นกราฟ DTA, TG, DTG ของดิน Bentonite.....	23

สารบัญภาพ (ต่อ)

ภาพ	หน้า
19 เทอร์โมแกรมที่ได้จากการวิเคราะห์ด้วย TGA.....	24
20 แบบจำลองสำหรับการพิสูจน์กฎของแบร์ก์.....	26
21 องค์ประกอบและหลักการเกิดภาพของกล้องจุลทรรศน์อิเล็กตรอนแบบส่องกราด	29
22 ค่าคงที่ไดอิเล็กทริกของเซรามิก $(1-x)PMN-xPT$ ที่ปริมาณ $x = (a) 0.28,$ $(b) 0.32$ และ $(c) 0.32.....$	32
23 รูปแบบการเลี้ยวเบนของรังสีเอกซ์ของผงผลึก $0.65PMN-0.35PT.....$	33
24 ภาพถ่ายด้วยกล้องจุลทรรศน์อิเล็กตรอนแบบส่องกราดของผงผลึก PMN-PT.....	33
25 รูปแบบการเลี้ยวเบนของรังสีเอกซ์ของผงผลึก PMN-PT และ PMN-PZT ที่เคลื่อนที่อุณหภูมิต่างๆ.....	34
26 ภาพถ่ายด้วยกล้องจุลทรรศน์อิเล็กตรอนแบบส่องผ่านของผงผลึก PMN-PT และ PMN-PZT ที่เคลื่อนที่อุณหภูมิ 800 และ 700 องศาเซลเซียส.....	34
27 ภาพถ่ายด้วยกล้องจุลทรรศน์อิเล็กตรอนแบบส่องกราดของผงผลึก $0.67PMN-$ $0.33PT$ เมาเคลื่อนที่อุณหภูมิ 800 องศาเซลเซียส.....	35
28 รูปแบบการเลี้ยวเบนของรังสีเอกซ์ของเซรามิก $0.67PMN-0.33PT$ ชินเตอร์ที่ อุณหภูมิ 1100-1200 องศาเซลเซียส เป็นเวลา 2 ชั่วโมง.....	36
29 ค่าคงที่ไดอิเล็กทริกของเซรามิก PMN-PT ชินเตอร์ที่อุณหภูมิ 1175 องศา เซลเซียสเป็นเวลา 2 ชั่วโมง.....	36
30 รูปแบบการเลี้ยวเบนของรังสีเอกซ์ของผงผลึก $(1-x)PMN-xPZT.....$	38
31 ค่าคงที่ไดอิเล็กทริกของเซรามิก $(1-x)PMN-xPZT$ ที่อุณหภูมิต่างๆ.....	38
32 วงรอบฮีสเทอเรซิสระหว่างค่าไฟล้าไร้เข็มกับสนามไฟฟ้าของเซรามิก $(1-x)PMN-xPZT.....$	39
33 รูปแบบการเลี้ยวเบนของรังสีเอกซ์ของผงผลึก $(1-x) PMN-xPZT$ ชินเตอร์ที่ อุณหภูมิ 1250 องศาเซลเซียส โดยที่ $(a) x=0.3$ $(b) x=0.5$ และ $(c) x=0.7..$	40

สารบัญภาพ (ต่อ)

ภาพ	หน้า
34 ค่าคงที่ไดอิเล็กทริกของเซรามิก $0.3\text{PMN}-0.7\text{PZT}$ ชิ้นเตอร์ที่อุณหภูมิ 1250 องศาเซลเซียส เป็นเวลา 2 ชั่วโมง	40
35 รูปแบบการเลี้ยวเบนของรังสีเอกซ์ของเซรามิก $(0.90 - x)\text{Pb}(\text{Mg}_{1/3}\text{Nb}_{2/3})\text{O}_3 - x\text{PbTiO}_3 - 0.10\text{PbZrO}_3$ ที่ปริมาณ S1(0.28), S2(0.31), S3(0.34), S4(0.37), S5(0.40) และ S6(0.43).....	41
36 ค่าสมประสิทธิ์ของอิเล็กทริกของเซรามิก $(0.90 - x)\text{Pb}(\text{Mg}_{1/3}\text{Nb}_{2/3})\text{O}_3 - x\text{PbTiO}_3 - 0.10\text{PbZrO}_3$ ที่ปริมาณ S1(0.28), S2(0.31), S3(0.34), S4(0.37), S5(0.40) และ S6(0.43).....	42
37 ค่าคงที่ไดอิเล็กทริกของเซรามิก $0.65\text{Pb}(\text{Mg}_{1/3}\text{Nb}_{2/3})\text{O}_3 - 0.35\text{PbZrO}_3$ ที่ความถี่ $0.1, 1.1, 12.7, 54.5$ และ 143.8 kHz.....	43
38 วงรอบฮีสเทอเรซิสระหว่างค่าโพลาไรเซชันกับสนามไฟฟ้าของเซรามิก $0.65\text{Pb}(\text{Mg}_{1/3}\text{Nb}_{2/3})\text{O}_3 - 0.35\text{PbZrO}_3$	43
39 ขั้นตอนการชิ้นเตอร์เซรามิก PMN-PT, PMN-PZ, PMN-PZT และ PMN-PZ-PT..	47
40 แผ่นผังขั้นตอนการเตรียมผงผลึก $0.67\text{PMN}-0.33\text{PT}$	48
41 แผ่นผังขั้นตอนการเตรียมผงผลึก $0.65\text{PMN}-0.35\text{PZ}$	49
42 แผ่นผังขั้นตอนการเตรียมผงผลึก $0.3\text{PMN}-0.7\text{PZT}$	50
43 แผ่นผังขั้นตอนการเตรียมผงผลึก $0.53\text{PMN}-0.37\text{PT}-0.1\text{PZ}$	51
44 แผ่นผังขั้นตอนการเตรียมเซรามิก $0.67\text{PMN}-0.33\text{PT}, 0.65\text{PMN}-0.35\text{PZ}, 0.53\text{PMN}-0.37\text{PT}-0.1\text{PZ}$ และ $0.3\text{PMN}-0.7\text{PZT}$	52
45 กราฟ DTA ของสารผสม PMN-PT ที่ใช้อัตราการขึ้นลงของอุณหภูมิ $10^\circ\text{C}/\text{นาที..}$	54
46 รูปแบบการเลี้ยวเบนของรังสีเอกซ์ของผงผลึก PMN-PT ผ่านแคลไนท์อุณหภูมิระหว่าง $700-1000$ องศาเซลเซียส เป็นเวลา 2 ชั่วโมง อัตราการขึ้นลงของอุณหภูมิ 5 องศาเซลเซียสต่อนาที.....	56

สารบัญภาพ (ต่อ)

ภาพ	หน้า
47 ภาพถ่ายบริเวณผิวน้ำของผงผลึก PMN-PT ที่เผาแคลไนซ์ที่อุณหภูมิ (ก) 700 (ข) 750 (ค) 850 (ง) 900 (จ) 950 และ (ช) 1000 องศาเซลเซียส เป็นเวลา 2 ชั่วโมง อัตราการขึ้นลงของอุณหภูมิ 5 องศาเซลเซียสต่อนาที.....	57
48 รูปแบบการเลี้ยวเบนของรังสีเอกซ์ของเซรามิก PMN-PT ที่เผาชิ้นเตอร์ที่อุณหภูมิ ระหว่าง 1000-1200 องศาเซลเซียส เป็นเวลา 2 ชั่วโมง อัตราการขึ้นลงของ อุณหภูมิ'5 องศาเซลเซียสต่อนาที.....	59
49 รูปแบบการเลี้ยวเบนของรังสีเอกซ์ที่มุม 44-46 องศา ของเซรามิก PMN-PT ที่เผ าชิ้นเตอร์ที่อุณหภูมิระหว่าง 1000-1200 องศาเซลเซียส เป็นเวลา 2 ชั่วโมง อัตราการขึ้นลงของอุณหภูมิ 5 องศาเซลเซียสต่อนาที.....	60
50 ภาพถ่ายบริเวณผิวน้ำของเซรามิก PMN-PT ที่เผาชิ้นเตอร์ที่อุณหภูมิ (ก) 1000 (ข) 1050 (ค) 1100 (ง) 1150 และ (จ) 1200 องศาเซลเซียส เป็นเวลา 2 ชั่วโมง อัตราการขึ้นลงของอุณหภูมิ 5 องศาเซลเซียสต่อนาที.....	62
51 ความสัมพันธ์ระหว่างค่าความหนาแน่นกับค่าการหดตัวเชิงเส้นของเซรามิก PMN-PT ที่เผาชิ้นเตอร์ที่อุณหภูมิต่างๆ.....	64
52 ค่าคงที่ไดอิเล็กทริกและค่าตัวประจุกบล็อกการสูญเสียไดอิเล็กทริกของเซรามิก PMN-PT ที่อุณหภูมิชิ้นเตอร์ต่างๆ.....	66
53 ลักษณะวงวนอิสเทอร์รีซิสของเซรามิก PMN-PT ชิ้นเตอร์ที่อุณหภูมิ 1100°C โดย ² ใช้ความต่างศักย์ของสนามไฟฟ้าที่ (ก) 10 (ข) 20 (ค) 30 และ (ง) 40 kV/cm	68
54 กราฟ DTA ของสารผสม PMN-PZ ที่ใช้อัตราการขึ้นลงของอุณหภูมิ 10°/นาที..	71
55 รูปแบบการเลี้ยวเบนของรังสีเอกซ์ของผงผลึก PMN-PZ เผาแคลไนซ์ที่อุณหภูมิ ระหว่าง 700-1000 องศาเซลเซียส เป็นเวลา 2 ชั่วโมง อัตราการขึ้นลงของ อุณหภูมิ 5 องศาเซลเซียสต่อนาที.....	72
56 ภาพถ่ายบริเวณผิวน้ำของผงผลึก PMN-PZ ที่เผาแคลไนซ์ที่อุณหภูมิ (ก) 700 (ข) 750 (ค) 850 (ง) 900 (จ) 950 และ (ช) 1000 องศาเซลเซียส เป็นเวลา 2 ชั่วโมง อัตราการขึ้นลงของอุณหภูมิ 5 องศาเซลเซียสต่อนาที.....	74

สารบัญภาพ (ต่อ)

ภาพ	หน้า
57 รูปแบบการเลี้ยวเบนของรังสีเอกซ์ของเซรามิก PMN-PZ ที่เผาชินเตอร์ที่อุณหภูมิระหว่าง 1000-1300 องศาเซลเซียส เป็นเวลา 2 ชั่วโมง อัตราการขึ้นลงของอุณหภูมิ 5 องศาเซลเซียสต่อนาที.....	76
58 ภาพถ่ายบริเวณผิวน้ำของเซรามิก PMN-PZ ที่เผาชินเตอร์ที่อุณหภูมิ (ก) 1000 (ข) 1050 (ค) 1100 (ง) 1150 (จ) 1200 (ฉ) 1250 และ (ช) 1300 องศาเซลเซียส เป็นเวลา 2 ชั่วโมง อัตราการขึ้นลงของอุณหภูมิ 5 องศาเซลเซียสต่อนาที.....	78
59 ความสัมพันธ์ระหว่างค่าความหนาแน่นกับค่าการทดสอบตัวเชิงเด่นของเซรามิก PMN-PZ ที่เผาชินเตอร์ที่อุณหภูมิต่างๆ.....	80
60 ค่าคงที่ไดอิเล็กทริกและค่าตัวประจุคงการสูญเสียไดอิเล็กทริกของเซรามิก PMN-PZ ที่อุณหภูมิชินเตอร์ต่างๆ.....	82
61 ค่าตัวประจุคงการสูญเสียไดอิเล็กทริกของเซรามิก PMN-PZ ที่อุณหภูมิชินเตอร์ต่างๆ.....	82
62 ลักษณะของวัสดุเทอร์เซิลของเซรามิก PMN-PZ ชินเตอร์ที่อุณหภูมิ 1200°C โดยใช้ความต่างศักย์ของสนามไฟฟ้าที่ (ก) 10 (ข) 20 (ค) 30 และ (ง) 40 kV/cm	84
63 กราฟ DTA ของสารผสม PMN-PZT ที่ใช้อัตราการขึ้นลงของอุณหภูมิ $10^{\circ}\text{C}/\text{นาที}$	85
64 รูปแบบการเลี้ยวเบนของรังสีเอกซ์ของผงผลึก PMN-PZT เผาเคลื่อนที่อุณหภูมิระหว่าง 700-1000 องศาเซลเซียส เป็นเวลา 2 ชั่วโมง อัตราการขึ้นลงของอุณหภูมิ 5 องศาเซลเซียสต่อนาที.....	88
65 ภาพถ่ายบริเวณผิวน้ำของผงผลึก PMN-PZT ที่เผาเคลื่อนที่อุณหภูมิ (ก) 700 (ข) 750 (ค) 850 (ง) 900 (จ) 950 และ (ฉ) 1000 องศาเซลเซียส เป็นเวลา 2 ชั่วโมง อัตราการขึ้นลงของอุณหภูมิ 5 องศาเซลเซียสต่อนาที.....	89

สารบัญภาพ (ต่อ)

ภาพ

หน้า

66 รูปแบบการเลี้ยวเบนของรังสีเอกซ์ของเซรามิก PMN-PZT ที่เผาชินเตอร์ที่อุณหภูมิระหว่าง 1000-1300 องศาเซลเซียส เป็นเวลา 2 ชั่วโมง อัตราการขึ้นลงของอุณหภูมิ 5 องศาเซลเซียสต่อนาที.....	91
67 ภาพถ่ายบริเวณผิวน้ำของเซรามิก PMN-PZT ที่เผาชินเตอร์ที่อุณหภูมิ (ก) 1000 (ข) 1050 (ค) 1100 (ง) 1150 (จ) 1200 (ช) 1250 และ (ช) 1300 องศาเซลเซียส เป็นเวลา 2 ชั่วโมง.....	93
68 แสดงความสัมพันธ์ระหว่างค่าความหนาแน่นกับค่าการหดตัวเชิงเส้นของเซรามิก PMN-PZT ที่เผาชินเตอร์ที่อุณหภูมิต่างๆ.....	95
69 ค่าคงที่ไดอิเล็กทริกและค่าตัวประกอบการสูญเสียไดอิเล็กทริกของเซรามิก PMN-PZT ที่อุณหภูมิชินเตอร์ต่างๆ.....	97
70 ค่าตัวประกอบการสูญเสียไดอิเล็กทริกของเซรามิก PMN-PZ ที่อุณหภูมิชินเตอร์ต่างๆ.....	98
71 ลักษณะวงวนอิสเทอร์รีซิสของเซรามิก PMN-PZT ชินเตอร์ที่อุณหภูมิ 1200°C โดยใช้ความต่างศักย์ของสนามไฟฟ้าที่ (ก) 10 (ข) 20 (ค) 30 และ (ง) 40 kV/cm.....	100
72 กราฟ DTA ของสารผสม PMN-PT-PZ ที่ใช้อัตราการขึ้นลงของอุณหภูมิ 10°/นาที.....	101
73 รูปแบบการเลี้ยวเบนของรังสีเอกซ์ของผงผลึก PMN-PZ-PT เผาแคลนไนท์ที่อุณหภูมิระหว่าง 700-1000 องศาเซลเซียส เป็นเวลา 2 ชั่วโมง อัตราการขึ้นลงของอุณหภูมิ 5 องศาเซลเซียสต่อนาที.....	103
74 ภาพถ่ายบริเวณผิวน้ำของผงผลึก PMN-PT-PZ ที่เผาแคลนไนท์ที่อุณหภูมิ (ก) 700 (ข) 750 (ค) 850 (ง) 900 (จ) 950 และ (ช) 1000 องศาเซลเซียส เป็นเวลา 2 ชั่วโมง อัตราการขึ้นลงของอุณหภูมิ 5 องศาเซลเซียสต่อนาที.....	105

สารบัญภาพ (ต่อ)

ภาพ	หน้า
75 รูปแบบการเลี้ยวเบนของรังสีเอกซ์ของเซรามิก PMN-PT-PZ ที่เผาชิ้นเตอร์ที่อุณหภูมิระหว่าง 1000-1300 องศาเซลเซียส เป็นเวลา 2 ชั่วโมง อัตราการขึ้นลงของ อุณหภูมิ 5 องศาเซลเซียสต่อนาที.....	107
76 รูปแบบการเลี้ยวเบนของรังสีเอกซ์ระหว่างมุน 43-46.5 องศา ของเซรามิก PMN-PT-PZ ที่เผาเคลือบไนท์อุณหภูมิระหว่าง 700-1000 องศาเซลเซียส เป็นเวลา 2 ชั่วโมงอัตราขึ้นลงของอุณหภูมิ 5 องศาเซลเซียสต่อนาที.....	108
77 ภาพถ่ายบริเวณผิวน้ำของเซรามิก PMN-PT-PZ ที่เผาชิ้นเตอร์ที่อุณหภูมิ (ก)1000 (ข) 1050 (ค) 1100 (ง) 1150 (จ) 1200 (ฉ) 1250 และ (ช) 1300 องศาเซลเซียส เป็นเวลา 2 ชั่วโมง.....	110
78 ความสัมพันธ์ระหว่างค่าความหนาแน่นกับค่าการทดสอบตัวเชิงเส้นของเซรามิก PMN-PT-PZ ที่เผาชิ้นเตอร์ที่อุณหภูมิต่างๆ.....	112
79 ค่าคงที่ไดอิเล็กทริกและค่าตัวประกอบการสูญเสียไดอิเล็กทริกของเซรามิก PMN-PT-PZ ที่อุณหภูมิชิ้นเตอร์ต่างๆ.....	114
80 ค่าตัวประกอบการสูญเสียไดอิเล็กทริกของเซรามิก PMN-PT-PZ ที่อุณหภูมิชิ้นเตอร์ต่างๆ.....	115
81 ลักษณะวงวนยิสเทอเรซิสของเซรามิก PMN-PT-PZ ชิ้นเตอร์ที่อุณหภูมิ 1200°C โดยใช้ความต่างศักย์ของสนามไฟฟ้าที่ (ก) 10 (ข) 20 (ค) 30 และ (ง) 40 kV/cm	117

สารบัญตาราง

ตาราง	หน้า
1 ค่าคงที่ไดอิเล็กทริกและค่าสัมประสิทธิ์พิโซอิเล็กทริกของเซรามิก PMN-PT.....	38
2 ค่าบริมาณร้อยละของเฟสเทหระโนกอลและค่าแลตทิซพารามิตเตอร์.....	42
3 ค่าร้อยละความบริสุทธิ์ของผงผลึก PMN-PT ที่เผาแคลไนน์ที่อุณหภูมิระหว่าง 700-1000 องศาเซลเซียส เป็นเวลา 2 ชั่วโมง	56
4 ขนาดอนุภาคเฉลี่ยของผงผลึก PMN-PT ที่เผาแคลไนน์ที่อุณหภูมิระหว่าง 700-1000องศาเซลเซียส เป็นเวลา 2 ชั่วโมง	58
5 ขนาดเกรนเฉลี่ยของผงผลึก PMN-PT ที่เผาชินเตอร์ที่อุณหภูมิ ระหว่าง 1000-1200 องศาเซลเซียส เป็นเวลา 2 ชั่วโมง	63
6 สมบัติทางกายภาพของเซรามิก PMN-PT ชินเตอร์ที่อุณหภูมิต่างๆ.....	64
7 สมบัติไดอิเล็กทริกของเซรามิก PMN-PT ชินเตอร์ที่อุณหภูมิต่างๆ.....	66
8 สมบัติไดอิเล็กทริกของเซรามิก PMN-PT ที่เตรียมด้วยวิธีอื่นๆ.....	69
9 สมบัติเฟรโรอิเล็กทริกของเซรามิก PMN-PT ชินเตอร์ที่อุณหภูมิ 1100 องศาเซลเซียส ตรวจสอบด้วยความต่างศักย์ของสนามไฟฟ้าต่างๆ.....	69
10 ค่าร้อยละความบริสุทธิ์ของผงผลึก PMN-PZ ที่เผาแคลไนน์ที่อุณหภูมิ ระหว่าง 700-1000 องศาเซลเซียส เป็นเวลา 2 ชั่วโมง.....	73
11 ขนาดอนุภาคเฉลี่ยของผงผลึก PMN-PZ ที่เผาแคลไนน์ที่อุณหภูมิ ระหว่าง 700-1000 องศาเซลเซียส เป็นเวลา 2 ชั่วโมง	75
12 ขนาดเกรนเฉลี่ยและร้อยละความบริสุทธิ์ของเซรามิก PMN-PZ ที่เผาชินเตอร์ที่ อุณหภูมิ ระหว่าง 1000-1300 องศาเซลเซียส เป็นเวลา 2 ชั่วโมง.....	79
13 สมบัติทางกายภาพของเซรามิก PMN-PZ ชินเตอร์ที่อุณหภูมิต่างๆ.....	80
14 สมบัติไดอิเล็กทริกของเซรามิก PMN-PZ ชินเตอร์ที่อุณหภูมิต่างๆ.....	83
15 สมบัติเฟรโรอิเล็กทริกของเซรามิก PMN-PZ ชินเตอร์ที่อุณหภูมิ 1200 องศาเซลเซียส ตรวจสอบด้วยความต่างศักย์ของสนามไฟฟ้าต่างๆ.....	85
16 ค่าร้อยละความบริสุทธิ์ของผงผลึก PMN-PZT ที่เผาแคลไนน์ที่อุณหภูมิระหว่าง 700-1000 องศาเซลเซียส เป็นเวลา 2 ชั่วโมง	88

สารบัญตาราง (ต่อ)

ตาราง	หน้า
17 ขนาดอนุภาคเฉลี่ยของผงผลึก PMN-PZT ที่เผาเคลือบในที่อุณหภูมิระหว่าง 700-1000 องศาเซลเซียส เป็นเวลา 2 ชั่วโมง	90
18 ขนาดเกรนเฉลี่ยของผงผลึก PMN-PZT ที่เผาซินเตอร์ที่อุณหภูมิ ระหว่าง 1000-1300 องศาเซลเซียส เป็นเวลา 2 ชั่วโมง.....	94
19 สมบัติทางกายภาพของเซรามิก PMN-PZT ชิ้นเตอร์ที่อุณหภูมิต่างๆ.....	95
20 สมบัติไดอิเล็กทริกของเซรามิก PMN-PZT ที่ชิ้นเตอร์ที่อุณหภูมิต่างๆ.....	98
21 สมบัติต่างๆ ของเซรามิก PMN-PZT ที่เตรียมด้วยวิธีอื่นๆ.....	99
22 สมบัติเฟริโวอิเล็กทริกของเซรามิก PMN-PZT ชิ้นเตอร์ที่อุณหภูมิ 1100° ตรวจสอบด้วยความต่างศักย์ของสนามไฟฟ้าต่างๆ.....	101
23 ค่าร้อยละความบริสุทธิ์ของผงผลึก PMN-PT-PZ ที่เผาเคลือบในที่อุณหภูมิ ระหว่าง 700-1000องศาเซลเซียส เป็นเวลา 2 ชั่วโมง.....	104
24 ขนาดอนุภาคเฉลี่ยของผงผลึก PMN-PT-PZ ที่เผาเคลือบในที่อุณหภูมิ ระหว่าง 700-1000 องศาเซลเซียส เป็นเวลา 2 ชั่วโมง.....	106
25 ขนาดเกรนเฉลี่ยและร้อยละความบริสุทธิ์ของเซรามิก PMN-PT-PZ ที่เผาซินเตอร์ ที่อุณหภูมิ ระหว่าง 1000-1300 องศาเซลเซียส เป็นเวลา 2 ชั่วโมง.....	111
26 สมบัติทางกายภาพของเซรามิก PMN-PT-PZ ชิ้นเตอร์ที่อุณหภูมิต่างๆ.....	112
27 สมบัติไดอิเล็กทริกของเซรามิก PMN-PT-PZ ชิ้นเตอร์ที่อุณหภูมิต่างๆ.....	115
28 สมบัติเฟริโวอิเล็กทริกของเซรามิก PMN-PZT ชิ้นเตอร์ที่อุณหภูมิ 1100 องศาเซลเซียสตรวจสอบด้วยความต่างศักย์ของสนามไฟฟ้าต่างๆ.....	117